

اثرات احداث سد بر ویژگی‌های پیچان‌رودی قسمت‌های میانی گرگان‌رود

رضا اسماعیلی* - دانشیار ژئومورفولوژی، گروه جغرافیای دانشگاه مازندران
قاسم لrstانی - استادیار ژئومورفولوژی، گروه جغرافیای دانشگاه مازندران
غفور بازیار - کارشناس ارشد ژئومورفولوژی، گروه جغرافیای دانشگاه مازندران

تاریخ دریافت: ۱۳۹۵/۱۱/۱۱ تاریخ پذیرش: ۱۳۹۶/۵/۱۰

چکیده

در این تحقیق اثرات احداث سد بر ویژگی‌های پیچان‌رودی قسمت‌های میانی گرگان‌رود در استان گلستان بررسی شده است. محدوده مورد مطالعه بین شهر گنبدکاووس و روستای دیگجه قرار دارد. در قسمت‌های بالادست گرگان‌رود سه سد مخزنی احداث شده است. برای بررسی اثرات احداث این سدها بر ویژگی‌های پیچان‌رودی از عکس‌های هوایی و تصاویر ماهواره‌ای سال‌های ۱۳۴۶، ۱۳۸۰، ۱۳۹۵ و ۱۳۸۰ استفاده شد. با رقومی‌کردن مسیر رودخانه در سال‌های یادشده، پارامترهای طول موج، دامنه موج، شعاع قوس، عرض کanal، و میزان مهاجرت کanal رود اندازه‌گیری شد. برای تحلیل تغییرات آب و رسوب داده‌های دو دوره قبل (۱۳۸۰-۱۳۴۶) و بعد (۱۳۹۵-۱۳۸۰) از احداث بررسی شد. نتایج تحقیق نشان می‌دهد که پس از احداث سد میانگین دبی رودخانه ۲۶ درصد و دبی رسوبات معلق ۵۰ درصد کاهش یافته است. به دنبال کاهش جریان آب، میانگین عرض کanal ۵۰ درصد کاهش یافت. پارامترهای طول موج و دامنه موج تغییرات مشخصی نداشتند. شعاع قوس پس از احداث سد کاهش یافته و با افزایش نسبت شعاع قوس به عرض کanal ظرفیت مهاجرت رود کم شده است. به طور میانگین، میزان فعالیت کanal رود در دوره مورد مطالعه ۶۵ متر در سال اندازه‌گیری شد.

کلیدواژه‌ها: استان گلستان، پیچان‌رود، سد مخزنی، گرگان‌رود.

مقدمه

از ویژگی‌های مهم سیستم رودخانه‌ای شکل کanal رود است و کanal‌هایی با الگوی پیچان‌رودی از فعال‌ترین اشکال رودخانه‌ای بهشمار می‌روند که فرسایش در کناره مقعر خمیدگی‌ها و رسوب‌گذاری در کناره مقابل آن‌ها موجب مهاجرت کanal در عرض دشت سیلانی می‌شود. میزان این مهاجرت جانبی در مقیاس فضایی و زمانی متغیر بوده و از ۰ تا تقریباً ۸۰۰ متر در سال گزارش شده است (هوک، ۱۹۸۰: ۱۵۱).

رودخانه‌ها دارای تعادل دینامیکی‌اند و در طی زمان با نوسان مقادیر دبی و رسوب خود را تعدیل می‌کنند (الرو، ۲۰۱۰: ۲۴۷). یعنی حالت خودتنظیمی دارند، از این رو، تغییر یک حالت طبیعی و حیاتی در سیستم رودخانه‌ای است و فرسایش کناره‌ای، زیربری رود، و رسوب‌گذاری از جمله فرایندهای طبیعی در آن بهشمار می‌روند. فعالیت‌های انسانی مانند برداشت شن و ماسه، احداث سازه‌ها و دیواره‌ها در کرانه رود، میانبری‌های مصنوعی، ساخت سدهای مخزنی، و تغییرات کاربری

اراضی موجب تغییراتی در دینامیک ژئومورفولوژیکی رودخانه‌ها می‌شود (یائو و همکاران، ۲۰۱۳: ۹۸). بدین ترتیب به صورت مستقیم یا غیر مستقیم آن را تحت تأثیر قرار می‌دهند.

فعالیت‌های انسانی با تغییر در رژیم دبی و حمل رسوب می‌تواند تغییراتی در عرض، سینوسیته، یا پایداری کanal رودخانه به وجود آورد (مورایس و همکاران، ۲۰۱۶: ۳۴۸). از جمله مهم‌ترین سازه‌های انسان ساخت در مسیر رودخانه‌ها سدهای مخزنی است که با اهداف تولید برق، کنترل سیل، تهیه آب برای کشاورزی و مصارف خانگی احداث می‌شود. احداث سدهای بزرگ برای جریان آب، رسوب، و ارگانیسم‌های زنده مانع ایجاد می‌کند و موجب ناپیوستگی در شرایط ژئومورفولوژیکی و اکولوژیکی می‌شود (سیکی و رودز، ۲۰۱۴: ۲۱۵). در نتیجه، اختلال در جریان آب و حمل رسوب تغییراتی در بالادست و پایین‌دست محل احداث سد به وجود می‌آید. از این رو، درک تغییرات دینامیک رودخانه‌ای به خصوص در رودخانه‌های پیچان‌رودی اهمیت زیادی دارد.

در استان گلستان تاکنون چهار سد مخزنی بر روی کanal اصلی گرگان رود احداث شده است که سه سد چمران، بوستان، و گلستان در بالادست محدوده مورد مطالعه قرار دارد. احداث این سدها بر روی کanal رودخانه و مورفولوژی آن تأثیر گذاشته است. از این رو، در این تحقیق، تغییرات مورفولوژیکی کanal رود بررسی شده است.

مئاندرهای رودخانه‌ای در رشته‌های مختلف علمی مانند ژئومورفولوژی، مهندسی رودخانه، دینامیک سیالات، فیزیک، زیست‌شناسی، و اکولوژی بررسی و مطالعه می‌شوند. اما در همه آن‌ها برای درک این اشکال از ژئومورفولوژی استفاده می‌شود (هوک، ۲۰۱۳: ۲۶۲). بررسی تغییرات رودخانه‌های پیچان‌رودی در یک دوره زمانی با استفاده از نقشه‌های تاریخی (تهیه شده از عکس‌های هوایی و تصاویر ماهواره‌ای) خصوصاً با توسعه GIS بهشت افزایش یافته است و بسیاری از محققان درباره تکامل مورفولوژیکی پیچان‌رودها مطالعه کرده‌اند که در اینجا فقط به تعدادی از آن‌ها اشاره می‌شود.

شیلدز و همکاران (۲۰۰۰) اثرات احداث سد را بر مهاجرت کanal رود در قسمت پایین‌دست رودخانه می‌سوروی بررسی کردند و به نتیجه رسیدند که میزان مهاجرت کanal پس از ساخت سد از ۶۶ متر در سال به ۱/۸ متر در سال کاهش یافت. بیاتی خطیبی (۱۳۹۳) تغییرات پیچان‌رود آجی‌چای را بررسی کرد و با استفاده از پارامتر شاعر خمیدگی، میزان جابه‌جایی و قابلیت حرکات جانبی رود را در دشت سیلابی محاسبه و برآورد کرد.

عاشوری و همکاران (۱۳۹۲) اثرات احداث سد ستارخان را روی رودخانه اهرچای مطالعه کردند. تحقیقات نشان داد که بعد از احداث سد دبی‌های اوج و سیلابی کاهش و به دنبال آن سینوسیته رودخانه کاهش یافته است. یمانی و همکاران (۱۳۹۴) مورفومتری رودخانه ارس را در پایین‌دست سد میل مغان با استفاده از تصاویر ماهواره‌ای لندست و IRS بررسی کردند. نتایج نشان داد که طی ۲۶ سال (۱۹۸۷-۲۰۱۳) تغییرات زیادی (حداکثر تا ۱/۷ کیلومتر جابه‌جایی) در مسیر رود اتفاق افتاده است.

لگلیتر (۲۰۱۵) اثرات سدهای مخزنی را بر مورفو دینامیک رودخانه‌های پیچان‌رودی در پایین‌دست رودخانه ساوری در امریکا مطالعه کرد و نتیجه گرفت که احداث سد موجب کاهش بزرگی جریان‌های اوج بهاری و افزایش جریان پایه شده و در مجموع میزان مهاجرت جانبی و فرسایش خالص و رسوب گذاری در دوره پس از احداث سد افزایش یافته است. اصغری سرواسکانرود (۱۳۹۵) در بررسی تغییرات مورفولوژیک رودخانه شهرچای ارومیه نشان داد که پس از احداث سد، دبی رودخانه شهرچای کاهش یافته و پارامترهای پیچان‌رودی رودخانه در دوره مورد مطالعه (۲۰۰۰-۱۳۹۳) کمترین میزان تغییرات را داشته است.

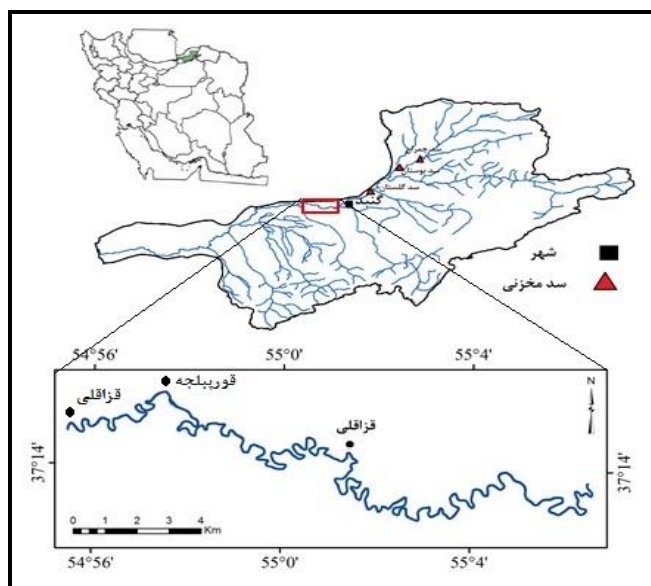
یوسفی و همکاران (۲۰۱۶) تغییرات مورفو متريک پارامترهای مئاندر رودخانه کارون را با استفاده از تصاویر لندست طی دوره ۱۹۸۹-۲۰۰۸ مطالعه کردند. مورایس و همکاران (۲۰۱۶) تغییرات فضایی و زمانی رودخانه مئاندری پیکیس در بزرگی را بررسی کردند. نتایج آن‌ها نشان می‌دهد که اثرات انسانی مانند احداث سد موجب می‌گردد که سینوسیته رود از ۲/۶ به ۱/۷ کاهش یابد و میانگین طول موج قوس‌ها از ۲۰۰ متر به ۵۰۰ متر افزایش یابد.

کاسادو و همکاران (۲۰۱۶) تغییرات ژئومورفیک رودخانه ساوس گراند آرژانتین را بعد از احداث سد مطالعه کردند. بررسی‌ها نشان داد که در پایین‌دست سد میزان مهاجرت کanal کم شده و عرض کanal هم تا ۳۰ درصد کاهش یافته و در نتیجه پلانفرم کanal پایدار شده است.

این تحقیق با هدف شناسایی الگوی فضایی و زمانی تغییرات پلانفرم رودخانه پیچان‌رودی گرگان‌رود و بررسی اثرات احداث سد بر روی آن انجام شده است.

منطقه مورد مطالعه

حوضه آبریز گرگان‌رود تقریباً نیمة جنوبی استان گلستان را با مساحت ۱۱۳۸۰ کیلومتر مربع شامل می‌شود. رودخانه اصلی این حوضه گرگان‌رود است که پس از دریافت شاخه‌های مختلف به دریای خزر می‌ریزد. از نظر زمین‌شناسی، حوضه آبریز گرگان‌رود در دو زون زمین‌شناسی گرگان-رشت و هزار مسجد-کپه‌داغ واقع شده است. محدوده مورد مطالعه قسمت میانی گرگان‌رود، حد فاصل شهر گنبد کاووس تا روستای دیگجه، به طول ۴۴ کیلومتر است (شکل ۱). الگوی رودخانه در این قسمت پیچان‌رودی است و میانگین دبی سالانه آن در ایستگاه قراقلی ۱۲۹ متر مکعب در ثانیه اندازه‌گیری شده است. سدهای چمران، گلستان، و بوستان به ترتیب در سال‌های ۱۳۷۰، ۱۳۷۹، ۱۳۸۳، و ۱۳۸۴ به بهره‌برداری رسیدند. حجم مفید این سه سد به ترتیب ۳، ۵۶، و ۴۴ میلیون متر مکعب است.



شکل ۱. موقعیت حوضه آبریز گرگان‌رود و بازه مورد مطالعه

مواد و روش‌ها

داده‌های دبی و رسوبر از گزارش‌های ایستگاه هیدرومتری قراقلی، که در ۷۳ کیلومتری پایین‌دست سد گلستان (طول مسیر رودخانه) و در محدوده مورد مطالعه قرار دارد، به دست آمد. این داده‌ها طی سال‌های ۱۳۵۲-۱۳۹۴ اندازه‌گیری شدند. در تحلیل هیدرولوژیکی به دو دوره- قبل از احداث سد (۱۳۸۰-۱۳۵۲) و بعد از احداث سد (۱۳۹۴-۱۳۸۱)- تقسیم شدند. برای مقایسه تغییرات میانگین دبی روزانه، یعنی مقادیر میانگین دبی در قبل و بعد از احداث سد، از آزمون T جفتی استفاده شد. داده‌های رسوبر هم بر اساس برآش بین مقادیر دبی جریان و رسوبر معلق متناظر آن با استفاده از معادله رگرسیونی زیر محاسبه شد.

$$Q_s = \alpha Q_w^b \quad (1)$$

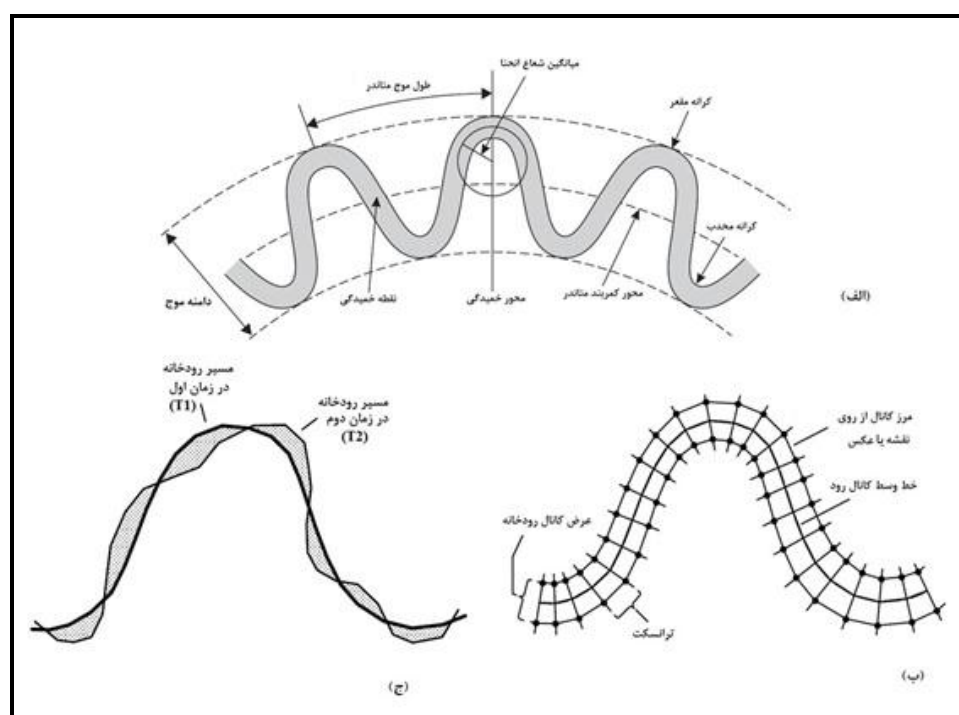
که Q_s بار رسوب معلق بر حسب تن در روز، Q_w دبی جریان آب به مترمکعب در ثانیه، و α و b ضرایب ثابت رگرسیون توانی هستند.

برای بررسی تغییرات پلان رود در محدوده مورد مطالعه، از عکس‌های هوایی سال ۱۳۴۶ با مقیاس ۱:۲۰۰۰۰ تصاویر ماهواره لندست (TM) سال ۲۰۰۱ (۱۳۸۰) و تصاویر گوگل ارث سال ۲۰۱۵ (۱۳۹۵) استفاده شد. منابع فوق در ابتدا ژئوفرنس شدند و سپس از روی آن‌ها مسیر رودخانه در نرم‌افزار Arc GIS به صورت رقومی ترسیم شد. پارامترهای طول موج، دامنه موج، و شعاع قوس شاخص‌های هندسی رودخانه هستند که شکل ۲ - الف روش اندازه‌گیری این پارامترها را نشان می‌دهد. برای محاسبه عرض کanal لبالی، پهنای رودخانه در فواصل ۴۰۰ متری از مسیر رودخانه اندازه‌گیری شد و در مجموع برای هر سال ۹۱ مورد نمونه‌گیری شد (شکل ۲ - ب).

پارامترهای میزان جایه‌جایی کanal و فعالیت کanal نشان‌دهنده فعالیت ژئومورفیک رودخانه‌اند. میزان فعالیت کanal گویای میزان مهاجرت کanal در برابر فرسایش در طی زمان است. برای اندازه‌گیری این پارامتر، ابتدا خط وسط رودخانه برای هر یک از سال‌های مورد نظر ترسیم شد (شکل ۲ - ج). سپس، با روی هم گذاری آن‌ها و با استفاده از رابطه ۱ میزان فعالیت کanal مشخص شد.

$$CA = (SA) / (L_{T_1}) / (T_2 - T_1) \quad (2)$$

فعالیت کanal، SA محدوده سایه‌خورده (مساحت تغییر مسیر رود در طی دو زمان) به هکتار، L_{T_1} طول کanal رود در زمان اول، T_1 زمان (سال) اول، و T_2 زمان (سال) دوم است.



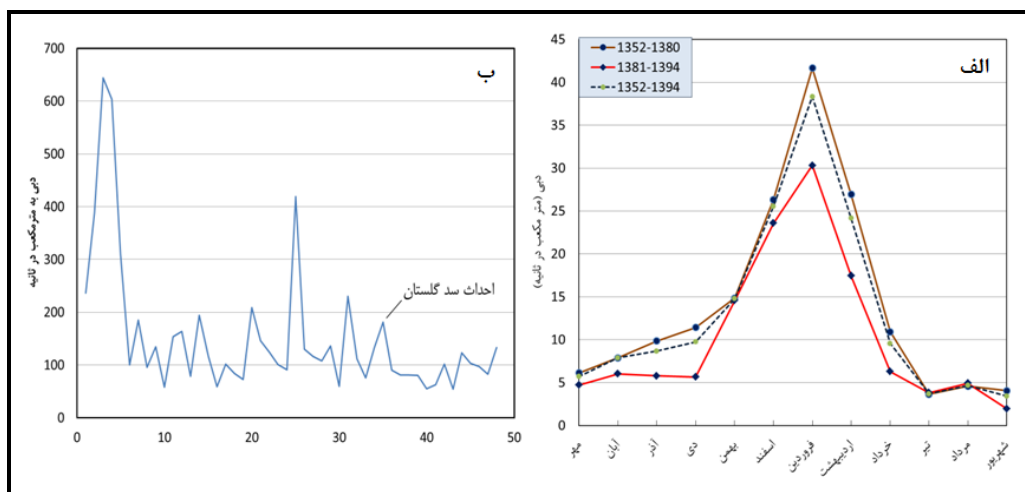
شکل ۲. روش‌های اندازه‌گیری: (الف) پارامترهای هندسی پلانفرم رود (حسین‌زاده و اسماعیلی، ۱۳۹۴: ۲۴۳؛ ب) عرض کanal لبالی رود؛ (ج) میزان فعالیت کanal رود (مگانلو و فرناندز، ۲۰۱۱: ۲۰۰)

برای بررسی تغییرات پارامترهای هندسی گرگان‌رود از آزمون‌های آماری در نرمافزار SPSS استفاده شد. برای این کار، نخست نرمال‌بودن توزیع داده‌ها با استفاده از آزمون آماری کولموگروف-اسمیرنوف بررسی شد. سپس، با توجه به تعداد سال‌های مورد بررسی (سه سال)، در صورت نرمال‌بودن توزیع داده‌ها از آزمون آنالیز واریانس (ANOVA) و در غیر این صورت از آزمون ناپارامتری کروسکال والیس استفاده شد. در همه موارد سطح اطمینان ۰/۰۵ برای رد فرضیه صفر در نظر گرفته شد.

برای بررسی تغییرات هر یک از پارامترهای هندسی رود از بالادست به پایین‌دست روید از ضریب همبستگی اسپیرمن استفاده شد. بدین صورت که برای اولین مقدار هر پارامتر در بالادست رتبه یک داده شد و به ترتیب به سمت پایین‌دست سایر رتبه‌ها مرتب و در سطح اطمینان ۰/۰۵ آزمون شدند.

یافته‌های پژوهش تغییرات دبی و رسوب

رژیم جریان گرگان‌رود به صورت دائمی بوده و منشأ برف و باران دارد. میانگین دبی روزانه طی سال‌های ۱۳۸۰-۱۳۵۲ (قبل از احداث سد) ۱۴ متر مکعب در ثانیه اندازه‌گیری شده است و طی سال‌های ۱۳۹۴-۱۳۸۱ (پس از احداث سد) میانگین دبی به ۱۰/۵ متر مکعب در ثانیه کاهش یافته است (شکل ۳ - الف) که معادل ۲۵/۶ درصد محاسبه شده است. آزمون T جفتی در سطح معناداری ۰/۰۵ نشان می‌دهد که میانگین دبی طی دو دوره یادشده تغییرات کاهشی مشخصی داشته است. شکل ۳ - ب میزان تغییرات دبی حداکثر لحظه‌ای را قبل و بعد از احداث سد نشان می‌دهد.



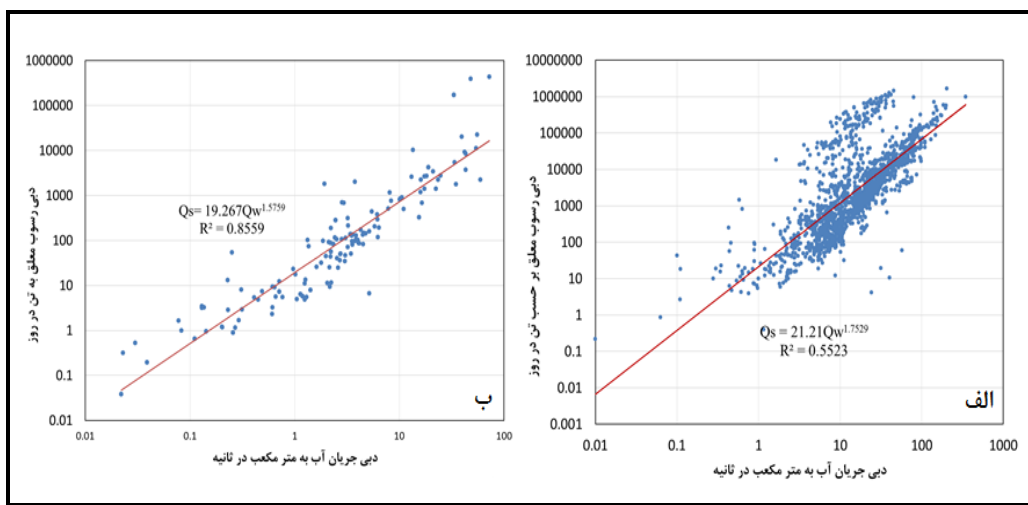
شکل ۳. الف) تغییرات میانگین دبی گرگان‌رود در ایستگاه قراقلی در قبل و بعد از احداث سد؛ ب) تغییرات دبی حداکثر لحظه‌ای در ایستگاه قراقلی در قبل و بعد از احداث سد مخزنی

رسوبات معلق حمل شده به وسیله گرگان‌رود طی دو دوره با معادلات رگرسیون توانی برآش داده شد (رابطه‌های ۲ و ۳ و شکل ۴).

$$Q_s = 21.21 Q_w^{1.752} \quad (3)$$

$$Q_s = 19.26 Q_w^{1.575} \quad (4)$$

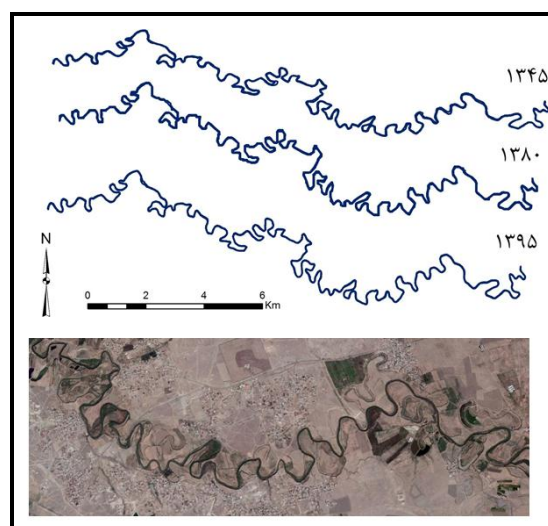
مقادیر توان در رابطه‌های ۱ و ۲ نشان‌دهنده نسبت میزان تغییرات رسوبات حمل شده در طی دو دوره است که بر این اساس متوسط مقدار رسوبات معلق حمل شده در گرگان‌رود ۵۰ درصد کاهش یافته است.



شکل ۴. معادله رگرسیونی حمل رسوبات معلق گرگان رود در ایستگاه قزاقلی: (الف) سال‌های ۱۳۸۰-۱۳۵۲ و (ب) سال‌های ۱۳۹۴-۱۳۸۱

تغییرات پارامترهای هندسی

برای بررسی مورفومتری پیچان رود سه پارامتر طول موج، دامنه موج، و شعاع قوس در سه دوره ۱۳۴۶، ۱۳۸۰، ۱۳۹۵ و ۱۳۹۵ اندازه‌گیری شد (شکل ۵). جدول ۱ مقادیر میانگین هر یک از پارامترها را نشان می‌دهد. همچنین، شکل ۶ به صورت خلاصه آمار توصیفی پارامترها (میانه، چارک اول و سوم) را نشان می‌دهد. طول موج در سال‌های اندازه‌گیری شده روند کاهشی داشت و مقدار آن در سال ۱۳۴۶ از ۳۸۶ متر به ۳۶۲ متر در سال ۱۳۹۵ کاهش یافت. اما آزمون آنالیز واریانس در سطح اطمینان ۰/۰۵ ($Sig = 0,742$) نشان می‌دهد که تغییرات معناداری در دوره ۱۳۹۵-۱۳۴۶ ایجاد نشده است. دامنه موج در سال ۱۳۴۶ از ۳۴۴ متر به ۳۵۹ متر در سال ۱۳۸۰ افزایش یافته و سپس در سال ۱۳۹۵ به ۳۰۳ متر کاهش یافته است. آزمون آنالیز واریانس در سطح اطمینان ۰/۰۵ ($Sig = 0,064$) نشان دهنده فقدان تغییرات معنادار این پارامتر در طی دوره مطالعه است (جدول ۲).



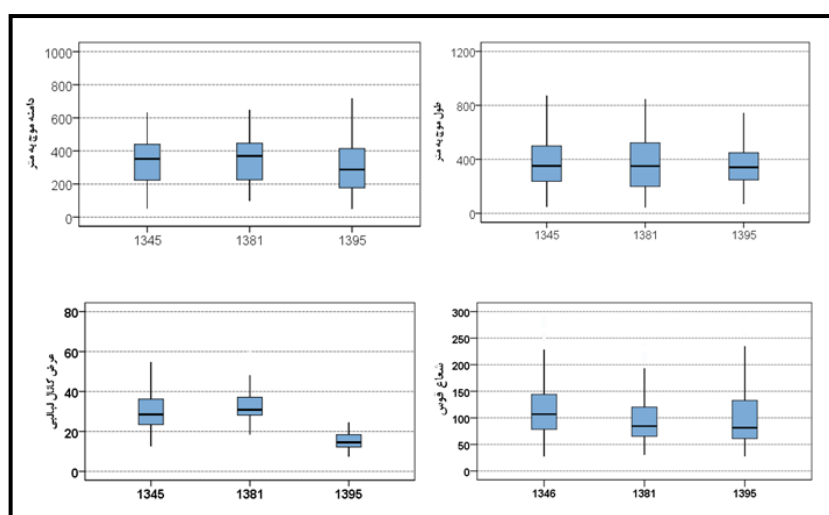
شکل ۵. مسیر پیچان رودی محدوده مورد مطالعه طی سال‌های ۱۳۹۵ تا ۱۳۴۶، تصویر بازبینی نیمه اول مسیر را از تصاویر گوگل ارث نمایش می‌دهد

جدول ۱. مقادیر آمار توصیفی پارامترهای پیچان‌رود طی سال‌های ۱۳۹۵-۱۳۴۶

پارامتر*	سال		
	۱۳۹۵	۱۳۸۰	۱۳۴۶
طول موج	۳۶۲	۲۵۵,۸	۳۷۷,۷۵
دامنه موج	۳۰۳,۷	۱۶۳,۱۹	۳۵۹,۳۸
شعاع قوس	۱۰۳	۵۵,۵۸	۱۰۰,۶
عرض کanal	۱۵,۷	۸,۷۶	۳۳,۴۶
مهاجرت کanal ^{**}	۲۲,۱۸	-	۳۹,۲۸

* همه متغیرها به متر اندازه‌گیری شده‌اند.

** مقادیر مهاجرت کanal به ترتیب مربوط به دوره ۱۳۴۶-۱۳۸۰ و ۱۳۹۵-۱۳۸۰ است.



شکل ۲. خلاصه آمار توصیفی پارامترهای هندسی در قسمت میانی گرگان‌رود

جدول ۲. مقایسه تغییرات پارامترهای اندازه‌گیری شده با آزمون‌های آماری

پارامتر	تعداد نمونه اندازه‌گیری شده در سال			آزمون آماری	Sig	هیچ تغییر مشخصی ایجاد نشده است	فرضیه صفر (H_0)
	۱۳۹۵	۱۳۸۰	۱۳۴۶				
طول موج	۸۵	۶۹	۷۴	آنالیز واریانس	۰,۷۴۳	تأثیرد	
دامنه موج	۸۵	۷۹	۷۴	آنالیز واریانس	۰,۰۶۴	تأثیرد	
شعاع قوس	۱۱۷	۱۱۲	۱۱۲	کروسکال والیس	۰,۰۰۳	رد	
عرض کanal	۹۱	۹۱	۹۱	کروسکال والیس	..	رد	

شعاع قوس پیچان‌رود در سال ۱۳۴۵ از ۱۲۴,۷ متر به ۱۰۰,۶ متر در سال ۱۳۸۰ کاهش یافت و سپس در سال ۱۳۹۵ به ۱۰۳,۸ متر افزایش یافت. آزمون آماری کروسکال والیس در سطح اطمینان ۰,۰۵ ($Sig = 0,006$) نشان می‌دهد که شعاع قوس تغییرات مشخصی در طی زمان تجربه کرده است.

عرض متوسط کanal در سال‌های ۱۳۴۶ و ۱۳۸۰ به ترتیب ۳۱ و ۳۳ متر اندازه‌گیری شد؛ اما در سال ۱۳۹۵ به ۱۵,۷ متر کاهش یافته است. آزمون آماری کروسکال والیس در سطح اطمینان ۰,۰۵ ($Sig = 0,005$) نشان می‌دهد که تغییرات کاملاً مشخصی در دوره مورد مطالعه رخ داده است.

میانگین مهاجرت جانبی کanal در دوره اول (۱۳۴۶-۱۳۸۰) ۳۹,۳ متر اندازه‌گیری شد که حداقل و حداکثر آن به ترتیب ۸ و ۹۵ متر بوده است. در دوره دوم (۱۳۹۵-۱۳۸۰) میانگین مهاجرت جانبی کanal ۲۲,۲ متر با مقدار حداقل و حداکثر ۵,۶

و ۵۳/۵ متر رخ داده است. فعالیت کanal با مهاجرت جانبی کanal ارتباط دارد. میزان فعالیت کanal از سال ۱۳۴۶ تا ۱۳۹۵ در محدوده مطالعه ۶۵ متر در سال محاسبه شده است.

نسبت شاع قوس به عرض رودخانه (R_c/W_b)، که یکی از مهم‌ترین عوامل توزیع تنش برشی در قوس رودخانه‌ها است، در سال‌های ۱۳۴۶، ۱۳۸۰، و ۱۳۹۵ به ترتیب ۱/۴، ۴/۳، ۳/۰۴، و ۷/۴۸ محسوبه شده است. طبق نظر لاگاس و همکاران (۲۴: ۲۰۰۴) مقادیر $R_c/W_b < 2$ ظرفیت بسیار زیادی برای مهاجرت جانبی کanal دارند و مقادیر بیش از آن مهاجرت رود شدیداً کاهش می‌یابد یا متوقف می‌شود. در بازه مورد مطالعه در دوره اول (قبل از احداث سد) ظرفیت مهاجرت جانبی کanal زیاد بوده و در دوره دوم (پس از احداث سد) این مقدار از آستانه جابه‌جایی فاصله زیادی داشته است. لذا، ظرفیت کanal برای مهاجرت جانبی بهشت کاهش یافته است.

بررسی روند تغییرات از بالا درست به پایین دست هریک از پارامترهای هندسی پیچان رود و عرض کanal نشان می‌دهد که هیچ روند مشخصی از تغییرات وجود ندارد. جدول ۳ ضریب همبستگی اسپیرمن را برای هر یک از متغیرها در سطح اطمینان ۰/۰۵ نشان می‌دهد.

جدول ۳. ضریب همبستگی اسپیرمن پارامترها

۱۳۹۵		۱۳۸۰		۱۳۴۶		پارامتر
Sig	R	Sig	R	Sig	R	
۰/۶۲۶	-۰/۰۵۴	۰/۰۴۶	-۰/۰۲۴	۰/۱۸۲	-۰/۱۵۶	طول موج
۰/۶۷	۰/۰۴۶	۰/۸۲۴	-۰/۰۲۷	۰/۲۰۵	-۰/۱۴۹	دامنه موج
۰/۰۵۲	-۰/۰۱۷۳	۰/۰۸۲	-۰/۰۱۶۵	۰/۸۴۹	-۰/۰۱۸	شعاع قوس
۰/۳۲۲	۰/۱۰۵	۰/۱۸۷	۰/۰۱۴	۰/۵۷۴	۰/۰۶	عرض کanal

بررسی ارتباط بین کاربری اراضی اطراف رودخانه، که به طور عمده شامل کشاورزی و مرتع است، با میزان مهاجرت کanal رود، با استفاده از روش مجدد اتا ۰/۰۳۸ محسوبه شد که نشان‌دهنده ارتباط ضعیف بین کاربری اراضی و میزان مهاجرت کanal رود است.

نتیجه‌گیری

احداث سد در بالا درست محدوده مورد مطالعه (قسمت میانی گرگان رود) موجب کاهش ۲۶ درصدی میانگین جریان آب شد. دبی جریان‌های اوج هم پس از احداث سد کاهش یافت. با کاهش دبی جریان، میانگین عرض کanal هم به میزان ۵۰ درصد کاهش یافت. به دنبال کاهش جریان و تنشینی رسوبات معلق در پشت سدها، دبی رسوبات معلق هم یک کاهش ۵۰ درصدی را نشان می‌دهند. مطالعات پال (۲۰۱۶) نشان می‌دهد که کاهش دبی موجب کاهش سه‌باره مقدار رسوب شده است. در این تحقیق مقدار کاهش دبی رسوب معلق نسبت به دبی جریان دو برابر شده است. ادیب و همکاران (۲۰۱۶) با بررسی اثرات سد کرخه در پایین دست رودخانه به نتیجه رسیدند که، پس از احداث سد، دبی جریان، عرض رودخانه، و دبی رسوب به ترتیب ۵۶، ۲۱، و ۱۴ درصد کاهش یافته‌اند. تحقیقات الرو (۲۰۱۰) و کاسادو و همکاران (۲۰۱۶) کاهش مقدار آب و رسوب را پس از احداث سد نشان می‌دهد. تحقیقات فوق نتایج این پژوهش را تأیید می‌کند.

از پارامترهای هندسی پیچان رود، طول موج و دامنه موج تغییرات کمی را در دوره زمانی ۴۹ ساله نشان می‌دهند؛ یعنی این دو پارامتر در قبل و بعد از احداث سد تغییرات مشخصی نداشته‌اند. وجود تقریباً ۳۲ کیلومتر کanal متروک در بازه مورد مطالعه، که در عکس هوایی و تصاویر ماهواره‌ای قابل شناسایی است (شکل ۵) نشان‌دهنده مورفودینامیک فعل رودخانه قبل از سال ۱۳۴۶ است. اما مقدار شاع قوس در دوره قبل و بعد از احداث سد کاهش معناداری را نشان می‌دهد. اگرچه کاهش شاع قوس می‌تواند نشان‌دهنده تحت فشار بودن کanal باشد، کاهش عرض کanal و در نتیجه افزایش دوبرابری نسبت شاع قوس به عرض کanal نشان‌دهنده ایجاد شرایط تقریباً پایدار در قسمت میانی گرگان رود است. مطالعه مگدانلو

و فرناندز (۲۰۱۱) در رودخانه ابرو اسپانیا هم نشان می‌دهد که پارامترهای پیچان‌رودی در یک دوره هشتادساله تغییرات کمی داشته‌اند، عرض کanal کاهش یافته و نسبت شعاع قوس به عرض کanal دو برابر شده است که تأیید‌کننده نتایج بدست‌آمده در این تحقیق است.

رودخانه‌ها در حالت عادی دارای تعادل دینامیکی‌اند. اما با تغییراتی که در سیستم رودخانه‌ای گرگان‌رود اتفاق افتاده است برخی از پارامترهای پیچان‌رودی در طی زمان تغییر نکرده‌اند. این نشان می‌دهد که تغییرات مهمی در عملکرد ژئومورفیک رودخانه ایجاد شده است و رودخانه از تعادل دینامیکی به تعادل استاتیکی نزدیک می‌شود.

منابع

- اصغری سراسکان‌رود، ص. (۱۳۹۵). بررسی پتانسیل تغییرات مورفو‌لولوژیک رودخانه شهرچای ارومیه، جغرافیا و برنامه‌ریزی، ۵۷_۶۲-۴۹.
- بیاتی خطیبی، م. (۱۳۹۳). بررسی تغییرات پیچان‌رود آجی‌چای در پهنه سیالاب دشت، جغرافیا و برنامه‌ریزی، ۴۹_۵۵-۷۹.
- حسین‌زاده، م.م. و اسماعیلی، ر. (۱۳۹۴). ژئومورفو‌لولوژی رودخانه‌ای، مفاهیم، اسکال و فرایندها، تهران: انتشارات دانشگاه شهید بهشتی.
- عاشوری، م؛ رضایی مقدم، م. ح. و پیری، ز. (۱۳۹۲). بررسی تغییر مورفو‌لولوژی بستر رودخانه پیش و پس از احداث سد با استفاده از GIS و HEC RAS (مطالعه موردی: منطقه پایین‌دست سد ستارخان اهر)، پژوهش‌های جغرافیای طبیعی، ۴۵(۱): ۸۷-۱۰۰.
- یمانی، م؛ رحیمی، م. و ویسی، ع. (۱۳۹۴). مورفومتری و مقایسه تغییرات عرضی رودخانه ارس طی سه دهه اخیر (مطالعه موردی: پایین‌دست سد میل مغان)، پژوهش‌های ژئومورفو‌لولوژی کمی، ۴_۷۴-۸۹.
- Adib, A.; Foladfar, H. and Roozy, A. (2016). Role of construction of large dams on river morphology (case study: the Karkheh dam in Iran), *Arab J. Geosci*, 9: 661, 1-16.
- Asghari Saraskanroud, S. (2016). Investigation the Potential of Morphological Change Urmia Shahrchi River, *Journal of Geography and planning*, 57: 49-62.
- Ashouri, M.; Rezaei Moghaddam, M.H. and Piry, Z. (2013). Morphologic Change Assessment of Riverbed Before and after Dam Construction Using HEC RAS Modeland GIS (Case Study: Downstream of SatarkhanDam), *Physical Geography research Quarterly*, 45(1): 87-100.
- Bayati Khatibi, M. (2014). Investigation on Aji-Chay River Meander Changes on Flood Plain, *Journal of Geography and planning*, 49: 55-79.
- Casado, A.; Peiry, J.L. and Campo, A.M. (2016). Geomorphic and vegetation changes in a meandering dryland river regulated by a large dam, Sauce Grande River, Argentina, *Geomorphology*, 268: 21-34.
- Csiki, S.Jc. and Rhoads, B.L. (2014). Influence of four run-of-river dams on channel morphology and sediment characteristics in Illinois, USA, *Geomorphology*, 206: 215-229.
- Lagasse, P.F.; Zevenbergen, L.W.; Spitz, W.J., and Thorne, C.R. (2004). Methodology for Predicting Channel Migration. NCHRP Web-Only Document 67 (Project 24-16), *National Cooperative Highway Research Program*, Transportation Research Board, Washington, D.C.
- Legleiter, C.J. (2015). Downstream effects of recent reservoir development on the morphodynamics of a meandering channel: Savery Creek, Wyoming, USA, *River Research & Applications*, 31(10): 1328-1343.
- Hosseinzadeh, M.M. and Esmaili, R. (2016). *Fluvial geomorphology, concepts, forms and processes*, Tehran: Shahid Beheshti University publication.

- Hooke, J.M. (1980). Magnitude and distribution of rates of river bank erosion, *Earth Surface Processes*, 5: 143-157.
- Hooke, J.M. (2013). *River Meandering*, Treatise on Geomorphology, pp. 260-288.
- Magdaleno, F. and Fernández-Yuste, J.A. (2011). Meander dynamics in a changing river corridor, *Geomorphology*, 130: 197-207.
- Morais, E.S.; Rocha, P.C. and Hooke, J. (2016). Spatiotemporal variations in channel changes caused by cumulative factors in a meandering river: The lower Peixe River, Brazil, *Geomorphology*, 273: 348-360.
- Ollero, A. (2010). Channel changes and floodplain management in the meandering middle Ebro River, Spain, *Geomorphology*, 117: 247-260.
- Pal, S. (2016). Impact of Massanjore Dam on hydro-geomorphological modification of Mayurakshi River, *Eastern India, Environ Dev Sustain*, 18: 921-944.
- Shields, JR. F.D.; Simon, A. and Steffen, L.G. (2000). Reservoir effects on downstream river channel migration, *Environmental Conservation*, 27(1): 54-66.
- Yamani, M.; Rahimi, M. and Veisi, A. (2015). Morphometry and compare changes across the Aras River during the last three decades (case study: downstream Mil dam of Moghan), *Journal of Quantitative Geomorphological researches*, 3(4): 74-89.
- Yao, Z.; Xiao, J.; Ta, W. and Jia, X. (2013). Planform channel dynamics along the Ningxia–Inner Mongolia reaches of the Yellow River from 1958 to 2008: analysis using Landsat images and topographic maps, *Environ Earth Sci*, 70: 97-106.
- Yousefi, S.; Pourghasemi, H.R.; Hooke, J.; Navartil, O. and Kidová, A. (2016). Changes in morphometric meander parameters identified on the Karoon River, Iran, using remote sensing data, *Geomorphology*, 271: 55-64.